# Devoir Surveillé 3

# L'emploi des calculatrices personnelles est interdit.

# Instructions générales

Les candidats sont invités à porter une attention particulière à la rédaction. La présentation, la lisibilité, l'orthographe, la qualité de la rédaction, la clarté et la précision des raisonnements entreront pour une part importante dans l'appréciation des copies. En particulier, les résultats non encadrés et non justifiés ne seront pas pris en compte.

Toute application numérique ne comportant pas d'unité ne donnera pas lieu à attribution de points. Le candidat prendra soin de bien numéroter les questions et d'y répondre dans l'ordre sur sa copie.

Si au cours de l'épreuve, un candidat repère ce qui lui semble être une erreur d'énoncé, il le signalera sur sa copie et devra poursuivre sa composition en expliquant les raisons des initiatives qu'il a été amené à prendre.

Toute les aides aux applications numériques se trouvent en fin de sujet.

ATTENTION:

- La rédaction doit être faite à l'encre noire ou bleue. Les couleurs doivent être réservées à l'encadrement des résultats et/ou les schémas.
- Les encres vertes et violettes sont interdites.
- Sont interdits également : les stylos plumes, les correcteurs type « Typex » ou « blanco », les stylos à friction.

## Partie I - L'alimentation en électricité

Ce problème est composé de 3 parties indépendantes. La première aborde la réalisation d'un transformateur, la seconde l'alimentation par câble coaxial et la dernière la génération d'un signal oscillant.

On notera  $\mu_0$  et  $\varepsilon_0$  la perméabilité et la permittivité du vide respectivement avec :

$$\mu_0 = 4\pi.10^{-7} H.m^{-1} et \epsilon_0 = 8,85.10^{-12} F.m^{-1}$$

## I.A) Transformateur torique

On étudie ici un modèle simplifié de transformateur schématisé en Figure 1. Il est constitué d'un matériau magnétique torique d'axe (Oz) à section carrée de côté a et de rayon intérieur R. On suppose que le milieu magnétique est parfait. L'espace est rapporté à la base cylindrique  $(\overrightarrow{e_r}, \overrightarrow{e_\theta}, \overrightarrow{e_z})$  illustrée pour un point M quelconque sur le schéma.

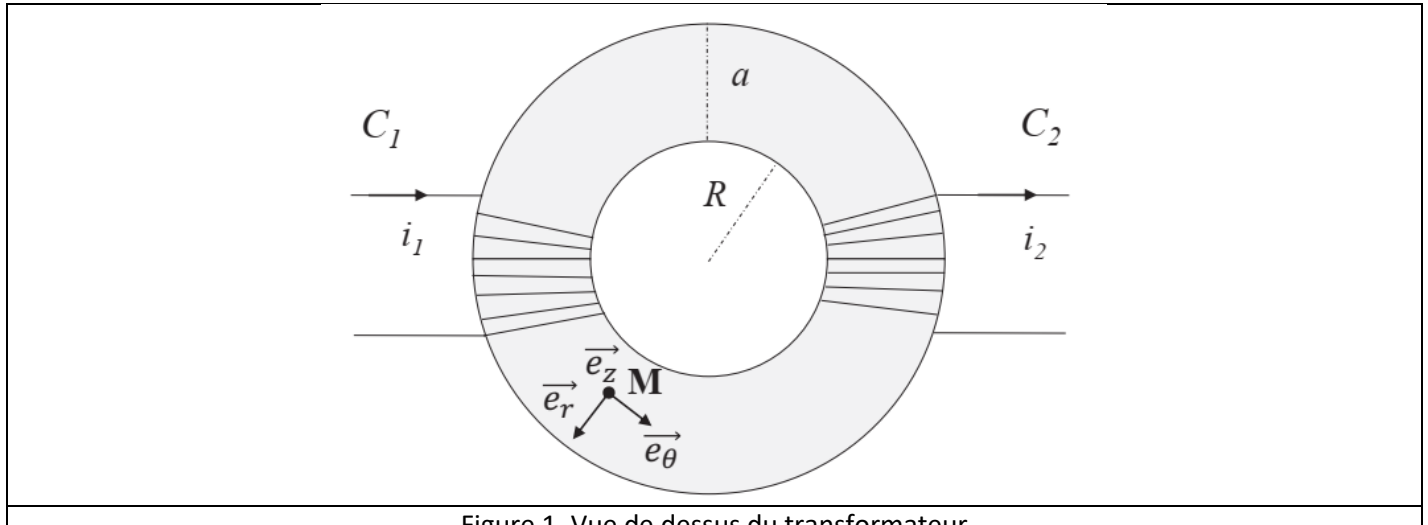


Figure 1. Vue de dessus du transformateur

Le bobinage dit « primaire » noté  $C_1$  est enroulé en  $N_1$  spires tout autour de ce tore. Il est parcouru par un courant d'intensité  $i_1$ . Le bobinage dit « secondaire » noté  $C_2$  est, de la même manière, enroulé en  $N_2$  spires régulièrement réparties tout autour de ce tore et est parcouru par un courant d'intensité  $i_2$ .

- 1) Rappeler les équations de Maxwell dans le vide. On précisera avec rigueur les termes, ainsi que leurs unités, les composant.
- 2) Justifier soigneusement que le champ magnétique  $\overrightarrow{B_1}$  créé à l'intérieur du tore par le courant circulant dans  $\mathcal{C}_1$  est de la forme :

$$\overrightarrow{B_1}(r,\theta,z) = B_1(r,z)\overrightarrow{e_\theta}$$

3) En appliquant le théorème d'Ampère à un contour  $\Gamma$  soigneusement précisé, démontrer que le champ magnétique  $\overrightarrow{B_1}$  créé par le circuit  $\mathcal{C}_1$  en tout point à l'intérieur du tore est donné par :

$$\overrightarrow{B_1} = \frac{\mu_0 N_1 i_1}{2\pi r} \overrightarrow{e_\theta}$$

- 4) Que nous dit l'équation de Maxwell-Flux (Thomson) sur le flux du champ magnétique ?
- **5)** Etablir l'expression du flux magnétique  $\phi$  du champ magnétique  $\overline{B_1}$  à travers une spire du circuit  $C_1$ . Pourquoi n'est-il pas nul?
- **6)** En déduire le flux total  $\phi_1$  au travers des  $N_1$  spires du circuit  $C_1$ .
- 7) Rappeler la définition de l'inductance propre L (ou coefficient d'auto-inductance). En déduire que l'inductance propre  $L_1$  du circuit  $C_1$  est donnée par :

$$L_1 = N_1^2 \frac{a\mu_0}{2\pi} ln\left(\frac{R+a}{R}\right)$$

- 8) Quelle est alors l'expression de l'inductance propre  $L_2$  du circuit  $C_2$  ?
- 9) Rappeler la définition du coefficient de mutuelle inductance M. Démontrer que ce coefficient M est donné par :

$$M = N_1 N_2 \frac{a\mu_0}{2\pi} ln \left(\frac{R+a}{R}\right)$$

- **10)** Quel phénomène entraine l'apparition d'une force électromotrice  $e_1$  dans le primaire ? Exprimer alors  $e_1$  en fonction de  $L_1$  et  $\frac{di_1}{dt}$  en précisant la loi utilisée. De quelle équation de Maxwell découle-t-elle ?
- **11)** La résistance des bobinages étant négligée, exprimer la tension  $u_1$  aux bornes du primaire en fonction des dérivées par rapport au temps de  $i_1$  et  $i_2$  et des coefficients  $L_1$  et M.
- **12)** Faire de même pour la tension  $u_2$  aux bornes du secondaire en fonction des dérivées par rapport au temps de  $i_1$  et  $i_2$  et des coefficients  $L_2$  et M.
- 13) En déduire que l'on a la relation suivante :

$$u_1 = \frac{L_1}{M}u_2 + \frac{M^2 - L_1L_2}{M}\frac{di_2}{dt}$$

**14)** Prouver que cette relation se simplifie pour faire apparaître ce que l'on appelle le rapport de transformation, défini comme le rapport des tensions du secondaire et du primaire :

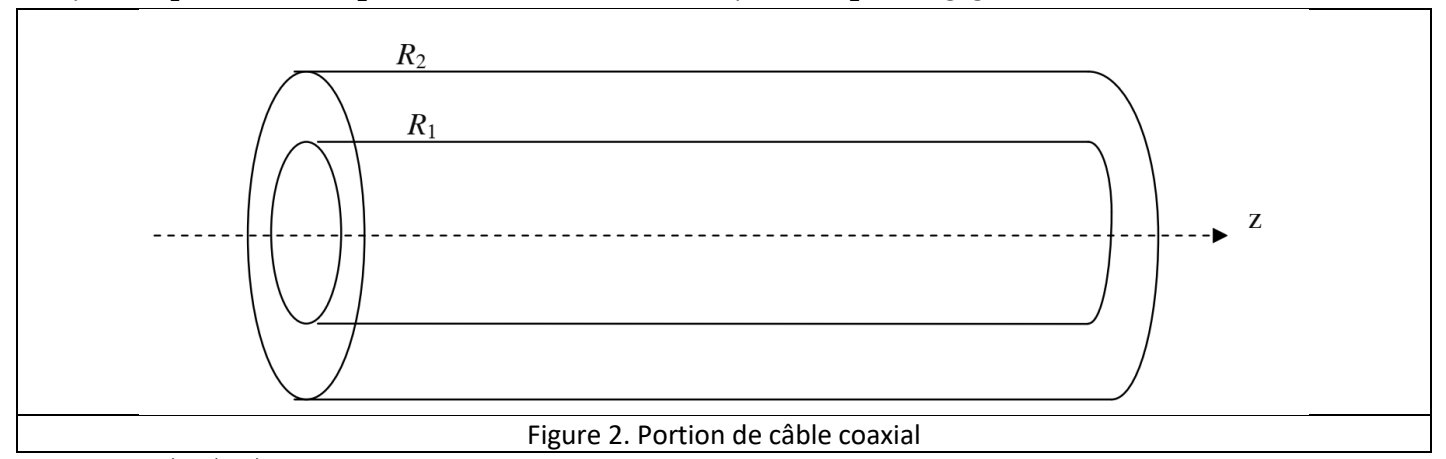
$$\frac{u_2}{u_1} = \frac{N_2}{N_1}$$

- **15)** L'électricité doit être produite et transportée en temps réel jusqu'aux lieux de consommation. Le transport se fait sur un réseau à Très Haute Tension (THT : 225 kV/440 kV) et à Haute Tension (HT : 63 kV/90 kV). L'électricité est ainsi acheminée sur de longues distances et avec un minimum de pertes. Expliquer alors comment les transformateurs constituent des éléments centraux de la chaîne de transport de l'électricité ?
- 16) Le fonctionnement d'un transformateur est-il possible pour des signaux continus ? Justifier votre réponse.
- **17)** Quel peut être l'intérêt d'utiliser un transformateur si les circuits primaire et secondaire comportent le même nombre de spires ?
- **18)** Technologiquement, les matériaux magnétiques des transformateurs sont réalisés en accolant des feuillets en acier. Quel type de pertes cherche-t-on ainsi à éviter ?

### I.B) Câble coaxial

Un câble coaxial, comme schématisé en Figure 2, est formé de deux très bons conducteurs, de même longueur l, l'un entourant l'autre. L'un est un conducteur massif de rayon  $R_1$ , appelé l'âme du conducteur. L'autre est un conducteur cylindrique creux de rayon  $R_2$ . L'espace inter-conducteur comporte un isolant, ici assimilé au vide.

On pose :  $R_1 = 0.25mm$ ,  $R_2 = 1.25mm$  et l = 100m. Vu que  $l \gg R_2$ , on négligera les effets de bord.



On note  $(\overrightarrow{u_r}, \overrightarrow{u_\theta}, \overrightarrow{u_z})$  la base en coordonnées cylindriques.

#### I.B.1) Capacité linéique

On suppose ici que les conducteurs intérieur et extérieur portent les charges électrostatiques respectives Q et -Q. Elles sont uniformément réparties en surface.

- **19)** Justifier que en tout point M de l'espace le champ électrique  $\vec{E}$  peut s'écrire sous la forme :  $\vec{E} = E(r) \overrightarrow{u_r}$
- 20) De quelle équation de Maxwell découle le théorème de Gauss ? L'énoncer.
- **21)** En utilisant le théorème de Gauss sur une surface  $\Sigma$  que l'on précisera, exprimer E(r) en fonction de l,r,Q et  $\varepsilon_0$  dans les trois domaines suivants :  $r < R_1$  ;  $R_1 < r < R_2$  ;  $r > R_2$
- **22)** Les conducteurs (1) et (2) sont portés aux potentiels respectifs  $V_1$  et  $V_2$  constants. Par un calcul de circulation, exprimer  $V_1 V_2$  en fonction de Q, l,  $R_1$ ,  $R_2$  et  $\varepsilon_0$ .
- **23)** On définit la capacité  $C_l$  du câble de longueur l par :  $C_l = \frac{Q}{V_1 V_2}$ . Exprimer  $C_l$  en fonction de l,  $R_1$ ,  $R_2$  et  $\varepsilon_0$ , puis la capacité linéique C du câble coaxial en fonction de  $R_1$ ,  $R_2$  et  $\varepsilon_0$ . Faire l'application numérique.
- **24)** En déduire l'expression de l'énergie électrostatique  $W_e$  emmagasinée par le câble coaxial de longueur l.

#### I.B.2) Inductance linéique

On suppose ici que le câble coaxial est alimenté par un générateur de courant continu. Le conducteur intérieur assure le transport du courant aller  $I_0$ , le conducteur extérieur assure le transport du courant retour  $-I_0$ . Les répartitions de ces courants sont superficielles et uniformes sur chaque conducteur.

- **25)** Il existe entre les deux conducteurs un champ magnétique  $\vec{B}$ . Justifier que :  $\vec{B} = B(r) \overrightarrow{u_{\theta}}$
- 26) De quelle équation de Maxwell découle le théorème d'Ampère ? L'énoncer. Pourquoi peut-on l'appliquer ici ?
- **27)** Pour  $R_1 < r < R_2$ , par application du théorème d'Ampère sur un parcours  $\Gamma$  que l'on précisera, exprimer B(r) en fonction de  $I_0$ , r et  $\mu_0$ .
- **28)** On montre que l'énergie magnétique  $W_m$  emmagasinée dans le câble coaxial (volume inter-conducteur) s'écrit :

$$W_m = \frac{\mu_0 l}{4\pi} ln \left(\frac{R_2}{R_1}\right) I_0^2$$

Exprimer l'inductance  $L_l$  du câble de longueur l en fonction de  $\mu_0$ ,  $R_1$ ,  $R_2$  et l.

**29)** En déduire l'inductance linéique L du câble coaxial en fonction de  $\mu_0$ ,  $R_1$  et  $R_2$ . Faire l'application numérique.

#### I.B.3) Conclusion

Les câbles coaxiaux sont utilisés comme moyen de transmission d'informations. Ils sont conçus pour transmettre des signaux tout en assurant une protection contre les perturbations extérieures.

**30)** D'après les calculs menés précédemment, expliquer en quoi le câble coaxial permet de protéger le signal transmis des perturbations extérieures.

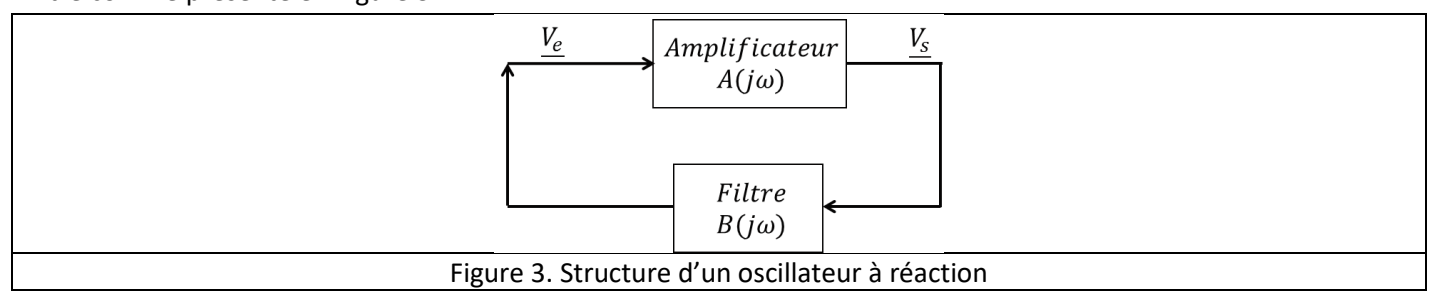
## I.C) Oscillateurs

Nous nous intéressons dans ce problème aux oscillateurs, systèmes électroniques au cœur de très nombreux objets qui nous entourent au quotidien : montre, voiture, radio, ordinateur, etc... Quelle que soit l'application, l'objectif d'un oscillateur est le même : générer un signal de période stable, de caractéristiques spectrales choisies, sans aucun signal d'entrée. Deux réalisations sont proposées dans ce problème : en première partie, un oscillateur quasisinusoïdal et en seconde partie un oscillateur à relaxation.

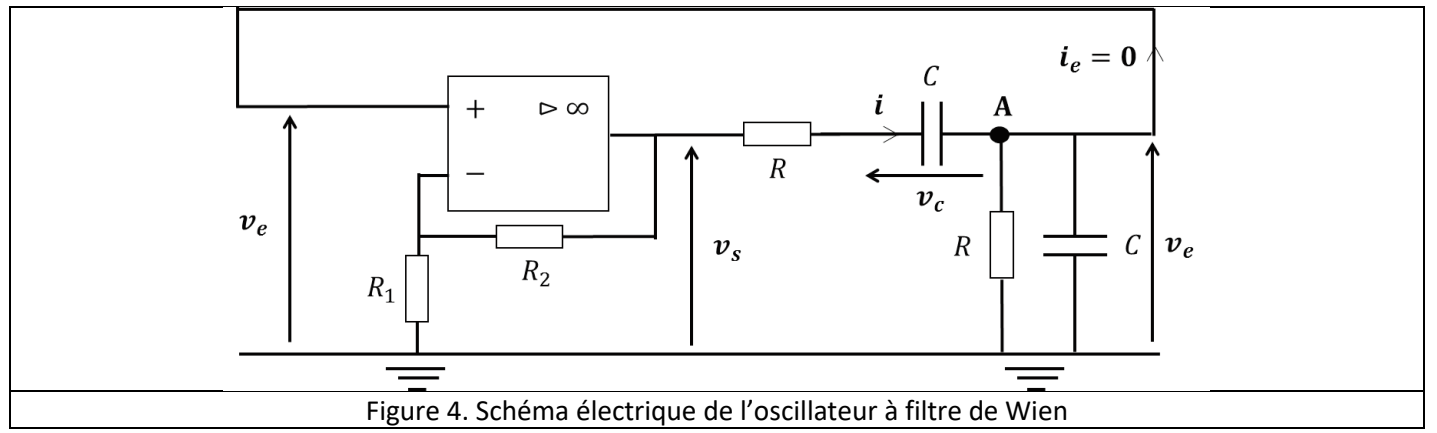
Les deux parties sont indépendantes et peuvent être traitées séparément.

#### I.C.1) Réalisation d'un oscillateur quasi-sinusoïdal

Il est parfois intéressant d'avoir des systèmes électroniques instables, notamment en électronique, pour pouvoir réaliser des oscillateurs. On rappelle que ce type de structure peut être réalisé en associant un amplificateur et un filtre comme présenté en Figure 3.



Nous étudions dans cette partie l'oscillateur à filtre de Wien (Figure 4).



#### A) Généralités

- **31)** Reproduire le schéma sur votre copie et identifier la partie amplificatrice ainsi que la partie filtre de cet oscillateur.
- **32)** Justifier pourquoi le courant noté  $i_e$  sur le schéma peut être considéré comme nul dans la suite de l'étude.

#### B) Etude du filtre de Wien

- **33)** Quelle est la relation entre la dérivée de la tension  $v_c$  aux bornes du condensateur par rapport au temps et le courant i le traversant ?
- **34)** Par une loi des nœuds au point A, exprimer le courant i en fonction de la tension  $v_e$  et de sa dérivée par rapport au temps.
- **35)** Par une loi des mailles, exprimer la tension  $v_s$  en fonction de  $v_e$ , R, i et  $v_c$ .
- **36)** En utilisant les équations précédentes (Q33 et Q34), montrer que l'on obtient l'expression suivante en précisant l'expression de la constante de temps  $\tau$ :

$$\frac{dv_s}{dt} = \tau \frac{d^2v_e}{dt^2} + 3\frac{dv_e}{dt} + \frac{v_e}{\tau}$$

#### C) Amplificateur

**37)** En étudiant le fonctionnement de l'amplificateur linéaire intégré présent dans le schéma (Figure 4), en déduire la valeur de l'amplification  $A = \frac{v_s}{v_o}$  en fonction des résistances  $R_1$  et  $R_2$ .

#### D) Conditions d'oscillation

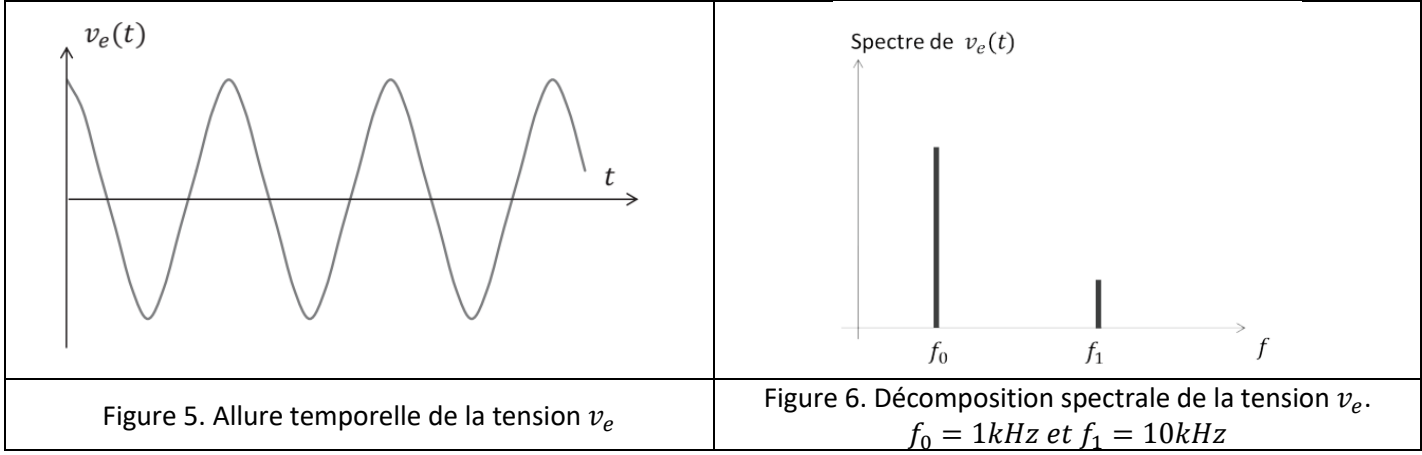
**38)** Montrer que l'on obtient l'équation différentielle suivante vérifiée par la tension  $v_s$  en fonction de  $\tau$  et de l'amplification A:

$$\tau^2 \frac{d^2 v_s}{dt^2} + \tau (3 - A) \frac{dv_s}{dt} + v_s = 0$$

**39)** Par analyse de cette équation, quelle condition doit-on satisfaire pour obtenir une oscillation harmonique ? Quelle est alors la fréquence d'oscillation que l'on notera  $f_0$  ?

#### E) Qualité du signal fourni

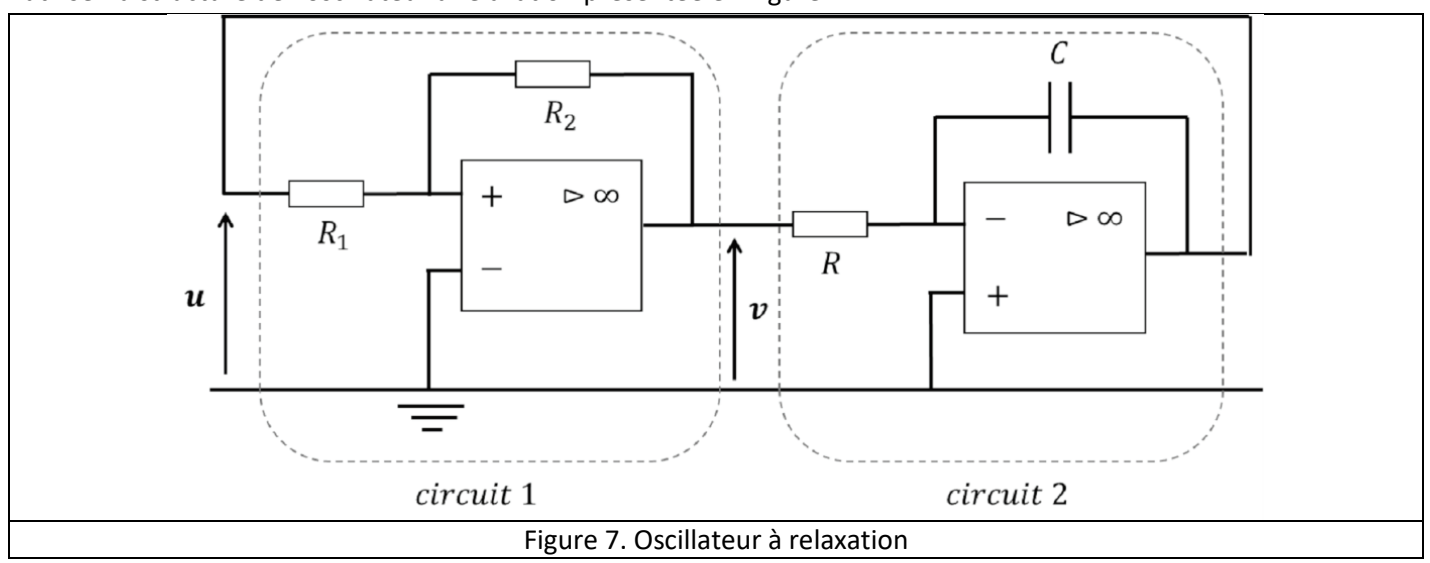
Nous nous intéressons à présent à la qualité du signal fourni par cet oscillateur. En Figure 5 et 6 sont présentées l'allure temporelle de la tension  $v_e$  ainsi que sa décomposition spectrale.



**40)** Peut-on considérer le signal fourni comme sinusoïdal ? Justifier. Comment pourrait-on améliorer la qualité de la tension  $v_e$  ? Une approche pratique est attendue en précisant les valeurs caractéristiques du dispositif mis en œuvre.

#### I.C.2) Oscillateur à relaxation

Si l'on cherche à réaliser un signal d'horloge, il n'est pas nécessaire d'obtenir un signal sinusoïdal. On peut alors utiliser la structure de l'oscillateur à relaxation présentée en Figure 7.



On considère les amplificateurs linéaires intégrés idéaux (ALI idéaux) et on note  $+V_{sat}$  et  $-V_{sat}$  leurs tensions de saturation. A t=0s, on suppose que la tension v vaut  $+V_{sat}$  et que la tension u est nulle.

#### A) Circuit 1

**41)** Préciser, en le justifiant, le mode de fonctionnement de l'ALI idéal. Quelles sont les valeurs que peut prendre la sortie v ? Pour quelle valeur de la tension d'entrée u, notée  $u_{seuil1}$ , la tension de sortie v bascule-t-elle de  $+V_{sat}$  à  $-V_{sat}$  ?

On admet que la tension de sortie v bascule de  $-V_{sat}$  à  $+V_{sat}$  pour une valeur de tension  $u_{seuil2}$  telle que  $u_{seuil2} = -u_{seuil1}$ .

**42)** Tracer la tension v en fonction de la tension u en annotant soigneusement le tracé.

## B) Circuit 2

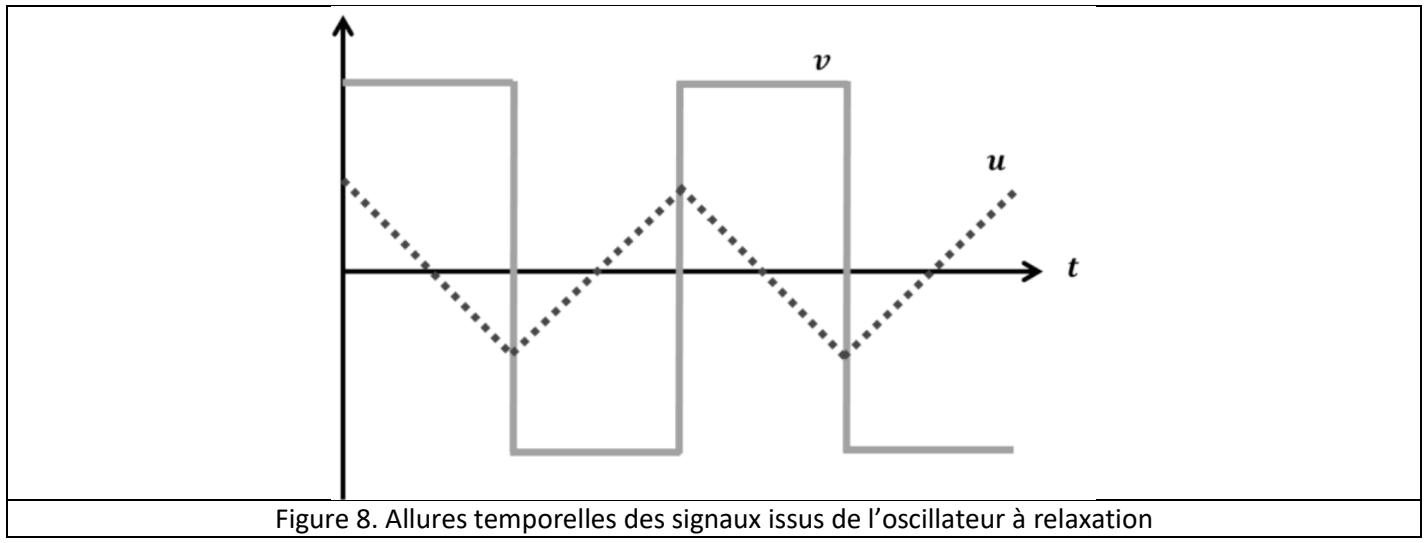
Le circuit 2 est un montage intégrateur inverseur. On admet la relation entrée-sortie suivante :

$$\frac{du}{dt} = -\frac{v}{RC}$$

**43)** Si la tension v est constante et vaut  $+V_{sat}$ , quelle est l'allure du signal d'entrée u ?

## C) Montage complet

Etudions à présent le montage complet. Les chronogrammes des tensions u et v sont donnés en Figure 8.



**44)** Exprimer la fréquence f de la tension u en fonction de  $R_1$ ,  $R_2$ , R et C.

#### Partie II - Le silicium

La plupart des circuits intégrés (comme les ALI) utilisent des matériaux de type semi-conducteurs, comme le silicium. On s'intéresse dans un premier temps à sa production, puis dans une deuxième partie à la réalisation d'une diode au silicium.

## II.A) Production du silicium

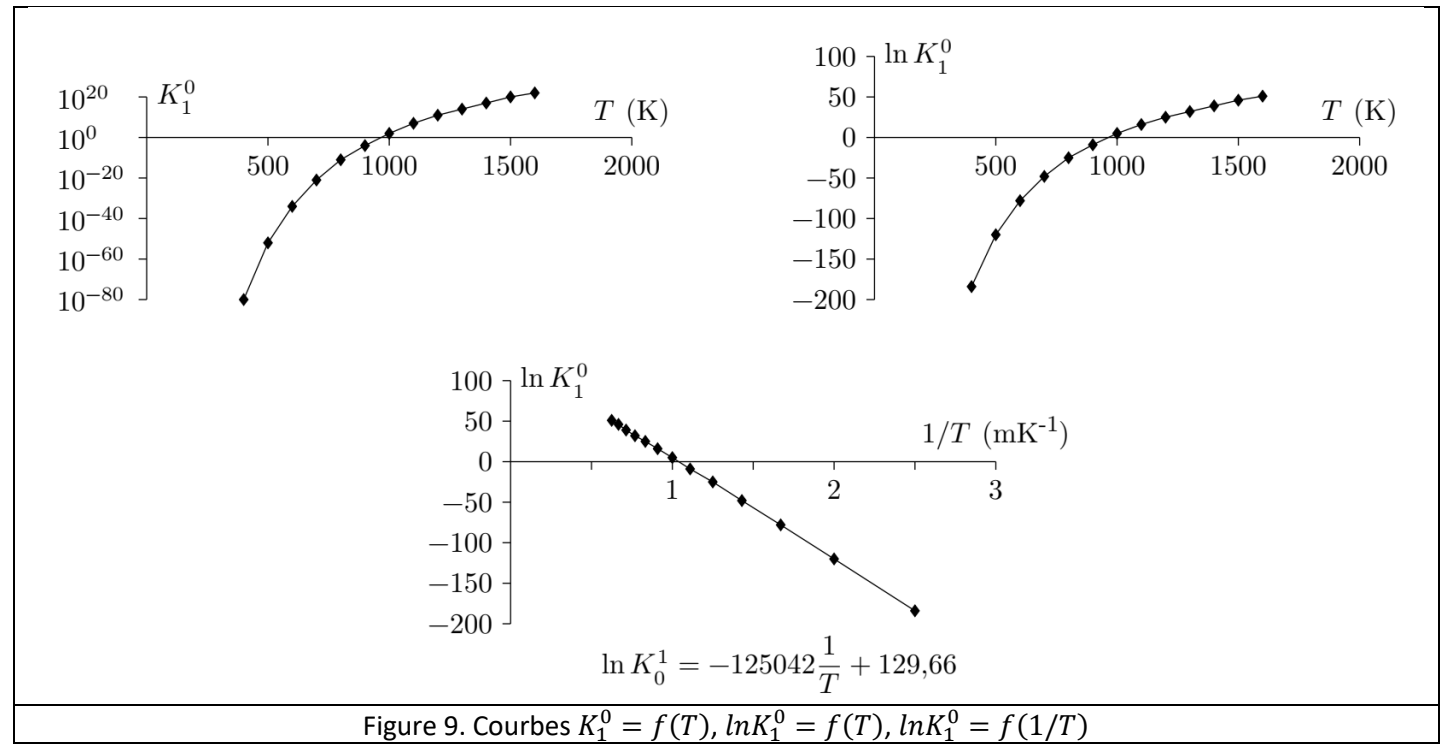
#### II.A.1) Réduction du dioxyde de silicium

Pour produire le silicium, on réduit le dioxyde de silicium  $SiO_2$  par le carbure de calcium  $CaC_{2(s)}$ . Pour T < 1683K, aucun changement d'état n'intervient.

L'équation de la réaction est :

$$2CaC_{2(s)} + 3SiO_{2(s)} = 2CaO_{(s)} + 4CO_{(g)} + 3Si_{(s)}$$
 (1)

Sa constante d'équilibre est noté  $K_1^0$ .



- **45)** À l'aide de la Figure 9, déterminer le signe de l'enthalpie standard  $\Delta_r H_1^0$  de la réaction (1) puis sa valeur en la supposant indépendante de la température.
- **46)** Quelle est l'influence d'une augmentation de la température à pression et composition constante ? Justifier. En déduire si l'industriel a intérêt à travailler à basse ou haute température.

#### II.A.2) A une température plus élevée

Dans un réacteur de volume constant 8 litres, préalablement vide, on introduit 18 g de  $SiO_2$  solide et 32 g de  $CaC_2$  solide. On opère à T=1730K>1683K. On suppose que la phase gazeuse est assimilable à un gaz parfait.

- **47)** Ecrire l'équation de la réaction entre  $SiO_{2(s)}$  et  $CaC_{2(s)}$  que l'on notera (1') en précisant les états physiques des espèces chimiques.
- **48)** Sachant que la constante d'équilibre de la réaction (1') vaut :  $K_{1'}^0(1730K) = 3,68 \times 10^{24}$ , calculer la pression du système si l'équilibre est atteint puis la quantité de matière de monoxyde de carbone formé. Conclure.
- **49)** En déduire les quantités de matière des différentes espèces chimique à l'état final, ainsi que la pression de la phase gazeuse (supposée parfaite).

#### II.A.3) Distillation du trichlorosilane

Le silicium obtenu est mis en réaction avec du chlorure d'hydrogène gazeux HCl à 300°C. On forme majoritairement le trichlorosilane  $SiHCl_3$  mais également le dichlorosilane  $SiH_2Cl_2$ . Après refroidissement à 15°C, on obtient un mélange liquide de  $SiHCl_3$  et de  $SiH_2Cl_2$  de composition molaire 80% en  $SiHCl_3$ . Une distillation fractionnée permet alors de purifier le trichlorosilane  $SiHCl_3$ .

Le trichlorosilane ultra-pur est réduit par l'hydrogène vers 1000°C, selon la réaction :

$$\dots SiHCl_{3(g)} + \dots H_{2(g)} = \dots Si_{(s)} + \dots HCl_{(g)}$$
 (2)

Le silicium ultra-pur, produit par cette réaction, est ensuite déposé sur un barreau de silicium.

- **50)** Ajuster les nombres stœchiométriques de l'équation (2).
- **51)** Que valent à 298K les enthalpies standards de formation de  $H_{2(g)}$  et  $Si_{(s)}$  ?
- **52)** Calculer l'enthalpie standard  $\Delta_r H_2^0$  de la réaction à 298K.
- **53)** La réaction est réalisée à le pression P=0.1bar. Justifier le choix de la pression égale à 0,1 bar plutôt que 1,0 bar à température fixée.

#### Données:

Extrait du tableau périodique des éléments :

	Н	С	N	0	Al	Si	Cl	Ca
Numéro atomique	1	6	7	8	13	14	17	20
Masse molaire $(g.mol^{-1})$	1,01	12,0	14,0	16,0	27,0	28,1	35,5	40,1

Relation de Van't Hoff:

$$\frac{d \ln K^{0}(T)}{dT} = \frac{\Delta_{r} H^{0}(T)}{RT^{2}}$$

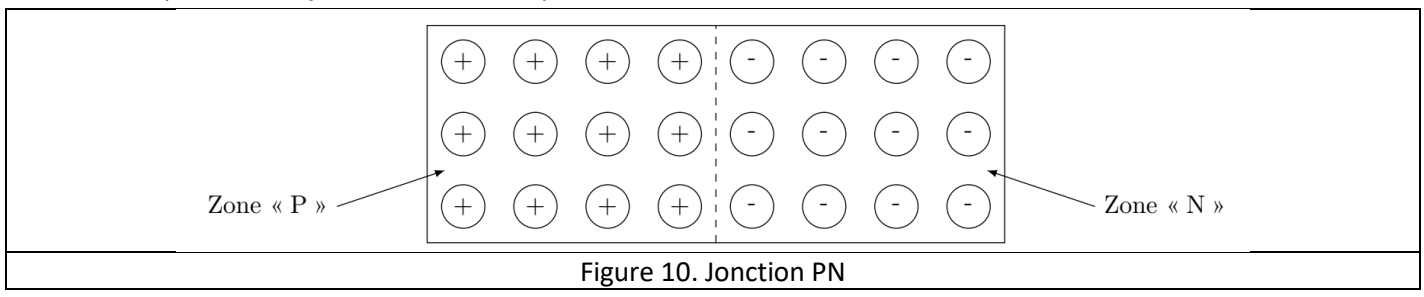
Données thermodynamiques :

	$Si_{(s)}$	$SiO_{2(s)}$	$SiHCl_{3(g)}$	$H_{2(g)}$	$HCl_{(g)}$	$CaC_{2(s)}$	$CaO_{(s)}$
Température de fusion $T_{fusion}$ (K)	1683	1883	139	14	159	2430	2886
Enthalpie standard de formation $\Delta_f H^0$ (kJ. $mol^{-1}$ )	?	-911	-488,5	?	-92,3	-63	-635

## II.B) Etude d'une diode au silicium

Une diode au silicium est en fait constituée d'une jonction de deux semi-conducteurs dopés, l'un de type « P » et l'autre de type « N ».

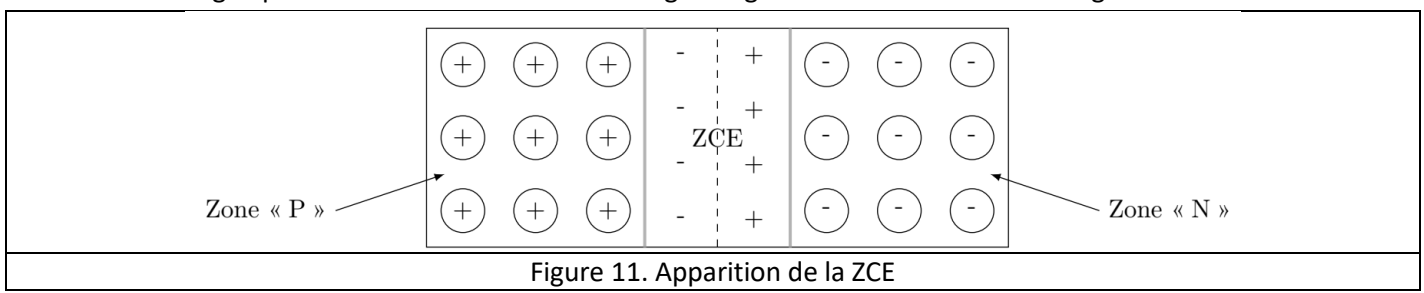
Dans ces deux zones, on ajoute, en quantité limitée, des impuretés dans le silicium de telle façon que la zone « N » contient une majorité d'électrons et une minorité de trous « + » (d'où sa charge négative) alors que la zone « P » contient une majorité de trous « + » et une minorité d'électrons (d'où sa charge positive) comme illustré Figure 10 où seuls les porteurs majoritaires ont été représentés.



La proximité de ces deux zones va entrainer une migration des trous vers la zone « N » ainsi que des électrons vers la zone « P ».

Lorsqu'un électron migre vers la zone « P », il va se recombiner avec un trou et cela entraine l'apparition d'un trou dans la zone « N » ; un raisonnement analogue peut être tenu en ce qui concerne la migration d'un trou « P » vers la zone « N ».

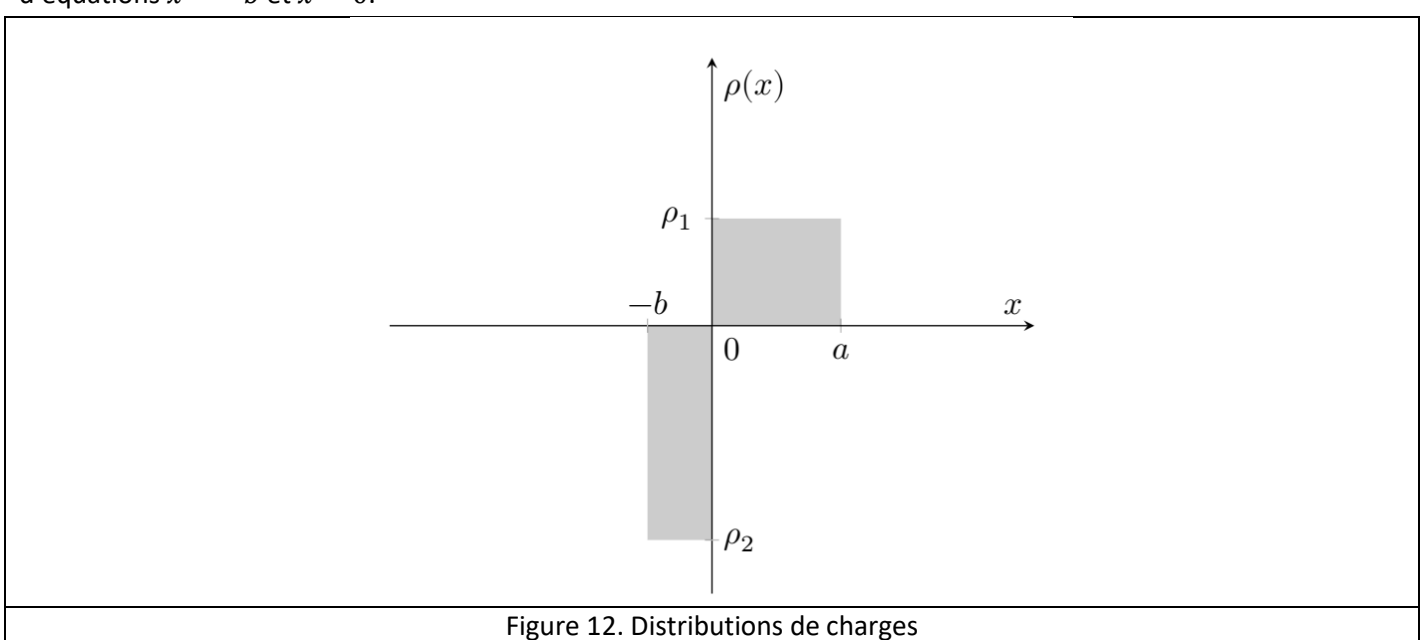
Tout ceci entraine une zone appelée zone de charge d'espace, notée ZCE, dans laquelle la zone « N » se trouve localement chargée positivement et la zone « P » chargée négativement comme illustré Figure 11.



54) Préciser pourquoi la ZCE est nécessairement limitée dans l'espace.

On se propose d'étudier le vecteur champ électrostatique dans la ZCE.

La zone de charge d'espace est modélisée par deux distributions uniformes (Figure 12), l'une de densité volumique  $\rho_1>0$  entre les plans d'équations x=0 et x=a, l'autre de densité volumique  $\rho_2<0$  située entre les plans d'équations x=-b et x=0.



rigure 12. Distributions de charges

**55)** La ZCE étant globalement neutre, déterminer la relation entre a, b,  $\rho_1$  et  $\rho_2$ .

**56)** On considère le cas d'une distribution uniforme de densité volumique  $\rho_0$  comprise entre les plans d'équations  $x=-\frac{d}{2}$  et  $x=+\frac{d}{2}$  où d est une largeur. Démontrer soigneusement que le vecteur champ électrostatique créé par cette distribution en tout point M de l'espace est de la forme :

$$\vec{E} = E(x)\vec{u_x}$$

**57)** A l'aide du théorème de Gauss, déterminer soigneusement l'expression de E(x) en tout point de l'espace. On montrera en particulier que :

$$E(x) = \frac{\rho_0 x}{\varepsilon_0} si |x| < \frac{d}{2}$$

- **58)** À l'aide du principe de superposition, déterminer le vecteur champ électrostatique en tout point M de la ZCE précédemment décrite. On exprimera E(x) en fonction de x,  $\rho_1$ , a et b.
- **59)** Représenter les variations de E(x) pour x variant de -b à a.
- **60)** À l'aide de l'étude précédente, indiquer la valeur minimale de la tension  $U=V_P-V_N$  à appliquer afin qu'un courant circule dans la diode.

## Aide aux calculs

ln(5,0) = 1,61	$2 \times \pi \times 8,85 = 55,6$	$\frac{55,6}{1,61} = 34,5$
$8,31 \times 125042 = 1,04.10^6$	$(3,68)^{0,25} = 1,39$	$\frac{1,39 \times 8}{8,31 \times 1730} = 7,73.10^{-4}$
$\frac{18}{60,1} = 0.30$	$\frac{32}{64,1} = 0,50$	$\frac{0,40 \times 8,31 \times 1730}{8} = 719$